

(本试剂盒仅供体外研究使用，不用于临床诊断!)

产品货号：E-BC-K102-S

产品规格：50 assays(48 samples)/ 100 assays(96 samples)

检测仪器：紫外-可见光分光光度计 (405 nm)

Elabscience®过氧化氢 (H₂O₂) 比色法测试盒

Hydrogen Peroxide (H₂O₂) Colorimetric Assay Kit

使用前请仔细阅读说明书。如果有任何问题，请通过以下方式联系我们：

电话：400-999-2100

邮箱：biochemical@elabscience.cn

网址：www.elabscience.cn

具体保质期请见试剂盒外包装标签。请在保质期内使用试剂盒。
联系时请提供产品批号(见试剂盒标签)，以便我们更高效地为您服务。

用途

本试剂盒适用于检测血清、血浆、尿液、动植物组织及细胞样本中的 H_2O_2 含量。

检测原理

H_2O_2 与钼酸铵反应生成稳定的黄色络合物且在 405 nm 处有最大吸收，黄色络合物的颜色深浅与 H_2O_2 的浓度在一定范围内具有线性关系。故可以通过比色计算出 H_2O_2 的含量。

本试剂盒检测组织和细胞样本时，需测定总蛋白浓度，推荐使用考马斯亮蓝法（货号：E-BC-K168-S）。

提供试剂和物品

编号	名称	规格 1 (Size 1) (50 assays)	规格 2 (Size 2) (100 assays)	保存方式 (Storage)
试剂一 (Reagent 1)	缓冲液 (Buffer Solution)	60 mL×1 瓶	60 mL×2 瓶	2-8℃ 保存 6 个月
试剂二 (Reagent 2)	钼酸铵试剂 (Ammonium Molybdate Reagent)	60 mL×1 瓶	60 mL×2 瓶	2-8℃ 保存 6 个月
试剂三 (Reagent 3)	1 mol/L H_2O_2 标准品 (1 mol/L H_2O_2 Standard)	12 mL×1 瓶	12 mL×1 瓶	2-8℃ 保存 6 个月

说明：试剂严格按上表中的保存条件保存，不同测试盒中的试剂不能混用。

对于体积较少的试剂，使用前请先离心，以免量取不到足够量的试剂。

所需自备物品

仪器: 紫外-可见光分光光度计(405 nm)、涡旋混匀仪、微量移液器(1000 μL , 200 μL)、37°C恒温箱。

耗材: 枪头(1000 μL , 200 μL)、EP管(5 mL, 2 mL)、吸水纸、擦镜纸。

试剂: 双蒸水、生理盐水(0.9% NaCl)或PBS(0.01 M, pH 7.4)。

试剂准备

① 实验开始前将所有试剂平衡至室温。

② 60 mmol/L标准品的配制:

按试剂三: 双蒸水为3:47的体积比混匀, 如取60 μL 的试剂三, 加940 μL 的双蒸水中, 混匀, 即为1 mL的60 mmol/L的过氧化氢。

样本准备

① 样本处理

血清血浆等液体样本：可直接测定。

组织样本：常规匀浆处理(生理盐水(0.9% NaCl溶液)或PBS(0.01 M, pH 7.4))。匀浆后，4°C，10000 ×g离心10 min，取上清置于冰上待测。留取部分上清用于蛋白浓度测定。

细胞样本：取10⁶细胞加入300-500 μL生理盐水(0.9% NaCl溶液)或PBS(0.01 M, pH 7.4)进行匀浆。匀浆后，4°C，10000 ×g离心10 min，取上清置于冰上待测。留取部分上清用于蛋白浓度测定。

② 样本的稀释

在正式检测前，需选择2-3个预期差异大的样本稀释成不同浓度进行预实验，根据预实验的结果，结合本试剂盒的线性范围：1.5-150 mmol/L，请参考下表稀释(仅供参考)：

样本	稀释倍数	样本	稀释倍数
人血清	不稀释	10%小鼠肝匀浆	5-10
大鼠血清	不稀释	10%青椒匀浆	不稀释
小鼠血清	不稀释		

注：稀释液为生理盐水(0.9% NaCl)或 PBS(0.01 M, pH 7.4)。

操作步骤

- ① 向空白管、标准管和样本管中,各加入 1 mL 试剂一于 5 mL EP 管中,置于 37°C 恒温箱中,预热 10 min。
- ② 向空白管中加入 0.1 mL 双蒸水;
向标准管中加入 0.1 mL 60 mmol/L 过氧化氢标准品;
向样本管中加入 0.1 mL 的待测样本。
- ③ 向步骤②中的各管加入 1 mL 试剂二,涡旋混匀。
- ④ 405 nm, 1 cm 光径石英比色皿,双蒸水调零,测定各管 OD 值。

操作表

	空白管	标准管	测定管
试剂一 (mL)	1	1	1
37°C 预热 10 min			
双蒸水 (mL)	0.1	--	--
60 mmol/L H ₂ O ₂ 标准品 (mL)	--	0.1	--
待测样本 (mL)	--	--	0.1
试剂二 (mL)	1	1	1
混匀, 405 nm, 1 cm 光径石英比色皿, 双蒸水调零, 测定各管 OD 值。			

本试剂盒检测组织和细胞样本时,需测定总蛋白浓度,推荐使用考马斯亮蓝法(货号: E-BC-K168-S)。

结果计算

血清（浆）、尿液中 H_2O_2 浓度计算公式：

$$\begin{aligned} \text{H}_2\text{O}_2 \text{ 浓度} \\ (\text{mmol/L}) &= \frac{\Delta A_1}{\Delta A_2} \times c \times f \end{aligned}$$

组织、细胞中 H_2O_2 浓度计算公式：

$$\begin{aligned} \text{H}_2\text{O}_2 \text{ 浓度} \\ (\text{mmol/L}) &= \frac{\Delta A_1}{\Delta A_2} \times c \times f \div C_{\text{pr}} \end{aligned}$$

注解：

ΔA_1 ：测定管 OD 值-空白管 OD 值

ΔA_2 ：标准管 OD 值-空白管 OD 值

C： H_2O_2 标准品浓度（60 mmol/L）

f：样本加入检测体系前的稀释倍数

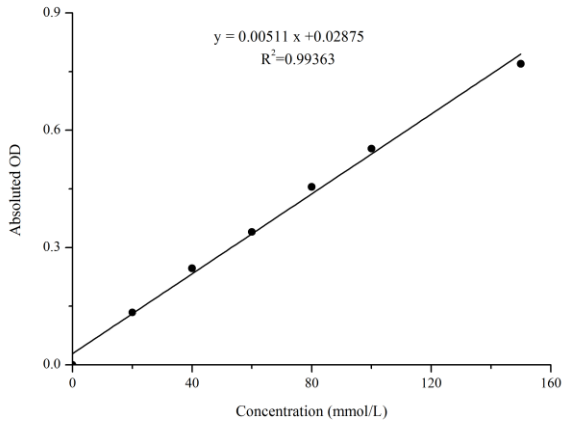
C_{pr} ：待测样本的蛋白浓度（g/L）

附录1 关键数据

1. 技术参数

检测范围	1.5-150 mmol/L	平均批间差	2.7%
灵敏度	1.5 mmol/L	平均批内差	1.3%
平均回收率	98%		

2. 标准曲线(数据仅供参考)



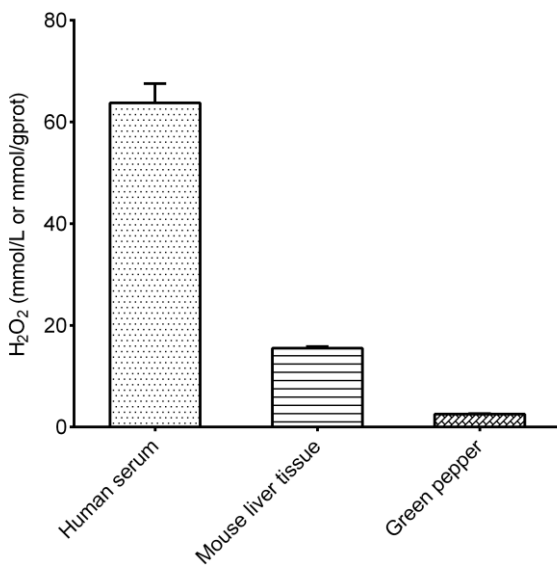
附录2 实例分析

例如检测人血清(数据仅供参考):

取0.1 mL人血清,按说明书操作,结果如下:空白管平均OD值为0.051,标准管平均OD值为0.422,测定管平均OD值为0.445,计算结果为:

$$\text{H}_2\text{O}_2 \text{ 浓度 (mmol/L)} = \frac{0.445-0.051}{0.422-0.051} \times 60 \times 1 = 63.72 \text{ mmol/L}$$

按照说明书操作,测定人血清(加样量0.1 mL)、小鼠肝脏组织(2%组织匀浆的蛋白含量1.82 g/L,加样量0.1 mL)、青椒(10%组织匀浆的蛋白含量1.99 g/L,加样量0.1 mL)中 H_2O_2 含量(如下图)



附录3 问题答疑

问题	可能原因	建议解决方案
测值不稳定,复孔差异大	微量移液器使用不熟练	小心加样,避免液体溅到其它测样管中
	未严格按照说明书操作	严格按照说明书操作
样本测不出值	样本稀释倍数太大	选择合适稀释倍数,重新检测
	样本保存时间过长或者保存不当	取新鲜样本,重新检测
样本测量结果>150 mmol/L	样本浓度太高	选择合适稀释倍数,重新检测
标准品的值较低	过氧化氢部分分解	使用前对过氧化氢的实际浓度进行校准

声明

1. 试剂盒仅供研究使用,如将其用于临床诊断或任何其他用途,我公司将不对因此产生的问题负责,亦不承担任何法律责任。
2. 实验前请仔细阅读说明书并调整好仪器,严格按照说明书进行实验。
3. 实验中请穿着实验服并戴乳胶手套做好防护工作。
4. 试剂盒检测范围不等于于样本中待测物的浓度范围。如果样品中待测物浓度过高或过低,请对样本做适当的稀释或浓缩。
5. 若所检样本不在说明书所列样本类型之中,建议先做预实验验证其检测有效性。
6. 最终的实验结果与试剂的有效性、实验者的相关操作以及实验环境等因素密切相关。本公司只对试剂盒本身负责,不对因使用试剂盒所造成的样本消耗负责,使用前请充分考虑样本可能的使用量,预留充足的样本。

附录4 客户发表文献

1. Du S, Zhou N, Xie G, et al. Surface-engineered triboelectric nanogenerator patches with drug loading and electrical stimulation capabilities: Toward promoting infected wounds healing[J]. *Nano Energy*, 2021, 85:106004. IF:17.087
2. Bartolini D, Arato I, Mancuso F, et al. Melatonin modulates Nrf2 activity to protect porcine pre-pubertal Sertoli cells from the abnormal H₂O₂ generation and reductive stress effects of cadmium. *J Pineal Res.* 2022;73 (1):e12806. IF:13.007
3. Yang Z, Wang J, Ai S, et al. Self-generating oxygen enhanced mitochondrion-targeted photodynamic therapy for tumor treatment with hypoxia scavenging[J]. *Theranostics*, 2019, 9(23): 6809. IF:11.556
4. Wan Q, Cao R, Wen G, et al. Sequential use of UV-LEDs irradiation and chlorine to disinfect waterborne fungal spores: Efficiency, mechanism and photoreactivation[J]. *Journal of Hazardous Materials*, 2022, 423:127102-. IF:10.588
5. Tian J, Wang L, Hui S, et al. Cadmium accumulation regulated by a rice heavy-metal importer is harmful for host plant and leaf bacteria. *J Adv Res.* 2022. IF:10.479
6. Jg A, Jie S B, Jy B, et al. Comparative toxicity reduction potential of UV/sodium percarbonate and UV/hydrogen peroxide treatments for bisphenol A in water: An integrated analysis using chemical, computational, biological, and metabolomic approaches[J]. *Water Research*, 2020, 190. IF:9.702
7. Yang X X, Xu X, Wang M F, et al. A nanoreactor boosts chemodynamic therapy and ferroptosis for synergistic cancer therapy using molecular amplifier dihydroartemisinin[J]. *Journal of Nanobiotechnology*, 2022, 20(1):1-19. IF:9.464
8. Liu Z, Liu X, Yang Q, et al. Neutrophil membrane-enveloped nanoparticles for the amelioration of renal ischemia-reperfusion injury in mice[J]. *Acta Biomaterialia*, 2020, 104: 158-166. IF:8.947
9. Huang S, Le H, Hong G, et al. An all-in-one biomimetic iron-small interfering RNA nanoplatfrom induces ferroptosis for cancer therapy. *Acta Biomater.* 2022;148:244-257. IF:8.291
10. Alharbi YM, Sakr SS, Albarrak SM, et al. Antioxidative, Antidiabetic, and Hypolipidemic Properties of Probiotic-Enriched Fermented Camel Milk Combined with *Salvia officinalis* Leaves Hydroalcoholic Extract in Streptozotocin-Induced Diabetes in Rats. *Antioxidants (Basel)*. 2022;11 (4):. IF:7.675

11. Wang H, Huang Q, Zhang Z, et al. Transient post-operative overexpression of CXCR2 on monocytes of traumatic brain injury patients drives monocyte chemotaxis toward cerebrospinal fluid and enhances monocyte-mediated immunogenic cell death of neurons in vitro[J]. *Journal of Neuroinflammation*, 2022. IF:7.573
12. Liu P, Yin Z, Chen M, et al. Cytotoxicity of adducts formed between quercetin and methylglyoxal in PC-12 cells[J]. *Food Chemistry*, 2021, 352(2):129424. IF:7.514
13. Adhikari B, Adhikari M, Ghimire B, et al. Cold plasma seed priming modulates growth, redox homeostasis and stress response by inducing reactive species in tomato (*Solanum lycopersicum*)[J]. *Free Radical Biology and Medicine*, 2020, 156: 57-69. IF:7.376
14. Zhao X, Wang C, Dai S, et al. Quercetin Protects Ethanol-Induced Hepatocyte Pyroptosis via Scavenging Mitochondrial ROS and Promoting PGC-1 α -Regulated Mitochondrial Homeostasis in L02 Cells. *Oxid Med Cell Longev*. 2022;2022:4591134. IF:7.31
15. Chagas TQ, Freitas ÍN, Montalvão MF, Nobrega RH, Machado MRF, Charlie-Silva I, Araújo APDC, Guimarães ATB, Alvarez TGDS, Malafaia G. Multiple endpoints of polylactic acid biomicroplastic toxicity in adult zebrafish (*Danio rerio*)[J]. *Chemosphere*. 2021 Aug;277:130279. IF:7.086
16. Mlindeli Gamede, Lindokuhle Mabuza, Phikelelani Ngubane, et al. Preventing the onset of diabetes-induced chronic kidney disease during prediabetes: The effects of oleanolic acid on selected markers of chronic kidney disease in a diet-induced prediabetic rat model[J]. *Biomedicine & Pharmacotherapy*. 2021 Jul;139:111570. IF:6.529
17. Yang H, Zhu Y, Ye Y, et al. Nitric oxide protects against cochlear hair cell damage and noise-induced hearing loss through glucose metabolic reprogramming.[J]. *Free radical biology & medicine*, 2021. IF:6.525
18. Rao M J, Xu Y, Tang X, et al. CsCYT75B1, a Citrus CYTOCHROME P450 Gene, Is Involved in Accumulation of Antioxidant Flavonoids and Induces Drought Tolerance in Transgenic Arabidopsis[J]. *Antioxidants & Redox Signaling*, 2020, 9(2):161. IF:6.313
19. Liou G G, Hsieh C C, Lee Y J, et al. N-Acetyl Cysteine Overdose Inducing Hepatic Steatosis and Systemic Inflammation in Both Propacetamol-Induced Hepatotoxic and Normal Mice[J]. *Antioxidants*, 2021, 10(3):442. IF:6.312
20. Wang Y, Chi H, Xu F, et al. Cadmium chloride-induced apoptosis of HK-2 cells via interfering with mitochondrial respiratory chain[J]. *Ecotoxicology and Environmental Safety*, 2022, 236:113494-. IF:6.233
21. Obaid QA, Al-Shammari AM, Khudair KK. Glucose Deprivation Induced by Acarbose

- and Oncolytic Newcastle Disease Virus Promote Metabolic Oxidative Stress and Cell Death in a Breast Cancer Model. *Front Mol Biosci.* 2022;9:816510. IF:6.113
22. Abdel-Wahab BA, Walbi IA, Albarqi HA, Ali FEM, Hassanein EHM. Roflumilast protects from cisplatin-induced testicular toxicity in male rats and enhances its cytotoxicity in prostate cancer cell line. Role of NF- κ B-p65, cAMP/PKA and Nrf2/HO-1, NQO1 signaling[J]. *Food Chem Toxicol.* 2021 May;151:112133. IF:6.023
 23. Aljutaily T. Evaluating the Nutritional and Immune Potentiating Characteristics of Unfermented and Fermented Turmeric Camel Milk in Cyclophosphamide-Induced Immunosuppression in Rats. *Antioxidants (Basel).* 2022;11 (4):. IF:5.952
 24. Jabbari N, Nawaz M, Rezaie J. Ionizing Radiation Increases the Activity of Exosomal Secretory Pathway in MCF-7 Human Breast Cancer Cells: A Possible Way to Communicate Resistance against Radiotherapy[J]. *International Journal of Molecular Sciences*, 2019, 20(15):3649-. IF:5.923
 25. Shanmugarajan D, Girish C, Harivenkatesh N, et al. Antihypertensive and pleiotropic effects of *Phyllanthus emblica* extract as an add-on therapy in patients with essential hypertension—A randomized double-blind placebo-controlled trial[J]. *Phytotherapy Research*, 2021. IF:5.878
 26. Short-Chain Fatty Acid, Sodium Propionate, in Patients on Maintenance Hemodialysis: Beneficial Effects on Inflammatory Parameters and Gut-Derived Uremic Toxins, A Pilot Study (PLAN Study)[J]. *Journal of Clinical Medicine*, 2018. IF:5.688
 27. Peng J, Pan J, Mo J, et al. MPO/HOCl Facilitates Apoptosis and Ferroptosis in the SOD1 G93A Motor Neuron of Amyotrophic Lateral Sclerosis. *Oxid Med Cell Longev.* 2022;2022:8217663. IF:5.604
 28. Treadmill Exercise Alleviates Brain Iron Dyshomeostasis Accelerating Neuronal Amyloid- β Production, Neuronal Cell Death, and Cognitive Impairment in Transgenic Mice Model of Alzheimer's Disease[J]. *Molecular neurobiology*, 2021, 58(7):3208-3223. IF:5.59
 29. Aboulhoda, B. E., Rashed, L. A., Ahmed, H., et al. Hydrogen sulfide and mesenchymal stem cells-extracted microvesicles attenuate LPS-induced Alzheimer's disease[J]. *Journal of Cellular Physiology*, 2021, 236(8):5994-6010 IF:5.546
 30. Liu W, Jia H, Guan M, et al. Discovery of novel tubulin inhibitors targeting the colchicine binding site via virtual screening, structural optimization and antitumor evaluation. *Bioorg Chem.* 2022;118:105486. IF:5.508